

ВЛИЯНИЕ ГРАВИТАЦИИ НА ВЫТЕКАНИЕ УЛЬТРАХОЛОДНЫХ  
НЕЙТРОНОВ ИЗ ЛОВУШКИ

А. В. Антонов, Б. И. Горячев, А. И. Исаков, Н. В. Линькова

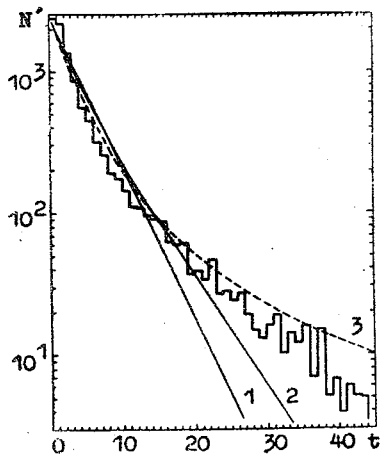
УДК 539.125.5

Методом Монте-Карло рассчитаны спектры утечки ультрахолодных нейтронов (УХН) из ловушки для центрального и кольцевого отверстий в нижнем торце ловушки. Проведен анализ полученных результатов. Приведена поправка на гравитацию при оценке средней скорости УХН в ловушке.

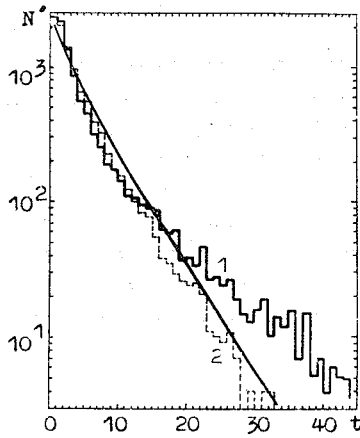
Изменение потенциальной энергии ультрахолодного нейтрона (УХН), движущегося в ловушке высотой  $H \sim 1$  м, сравнимо с его кинетической энергией. Поэтому точное описание газа УХН в больших ловушках требует учета гравитации. В настоящей работе методом статистических испытаний /1,2/ проведен численный эксперимент, в котором вытекание газа УХН из ловушки рассмотрено с учетом ускорения свободного падения  $g$ . Расчеты выполнены для медной цилиндрической ловушки /3/ для монохроматических нейтронов со скоростью  $v_0 = 4,8$  м/с, что соответствует средней скорости нейтронов на уровне нижнего основания ( $z = 0$ ) при  $\sigma = 9,8$  м/с<sup>2</sup>. Кроме вытекания газа через отверстие, расположеннное в нижнем основании ловушки, не рассматривались иные процессы, приводящие к утечке УХН. Упругое взаимодействие УХН со стенками ловушки рассмотрено так же, как в /2/. Вероятность диффузного рассеяния  $\varepsilon$  определялась как  $\varepsilon = \varepsilon_0 \cos \theta$ , где  $\theta$  — угол между направлением скорости  $v$  нейтрона и нормалью к поверхности в точке падения. Параметр  $\varepsilon_0$  принимался равным 0,1. Рассмотрено вытекание газа УХН через центральное отверстие радиуса  $R = 15$  см в плоскости нижнего основания ловушки. Согласно /2/, такое значение  $R$  соответствует случаю, когда существенно проявляется свойство зеркальности ловушки.

Чтобы выяснить, как влияет положение отверстия на характер вытекания нейтронов, также был проведен расчет для кольцевого отверстия той же площади с  $R_1 = 0,132$  м и  $R \leq 0,2$  м. Экспериментальная ситуация, соответствующая программе расчета, описана в /2/. В результате численного эксперимента были получены спектры утечки  $N'(t)$ , характеризующие вероятность вылета УХН из ловушки между моментами времени  $t$  и  $t + dt$ , в виде гистограмм с шириной интервала  $dt$ . Для построения каждой гистограммы разыгрывалось  $10^4$  историй. Расчеты выполнены на РДР-11/70.

Результаты расчета по методу Монте-Карло в случае вытекания нейтронов через центральное отверстие в плоскости основания представлены сплошными гистограммами на рис. I и 2. Вытеканию через кольцевое отверстие соответствует гистограмма 2 рис. 2. Для интерпретации полученных результатов были проведены модельные расчеты, результаты которых изображены сплошными кривыми на рис. I и 2.



Р и с. I. Гистограмма – спектр утечки УХН, полученный методом Монте-Карло для центрального отверстия радиуса  $R = 15$  см в плоскости нижнего основания ловушки (ширина интервала гистограммы  $dt = 0,13$  с); 1,2,3 – модельные кривые (см. текст)



Р и с. 2. Гистограмма 1 - то же, что на рис. I; гистограмма 2 - спектр утечки УХН, полученный методом Монте-Карло для кольцевого отверстия  $R_1 = 13,2$  см,  $R_2 = 20$  см в плоскости нижнего основания ловушки ( $\delta t = 0,13$  с); Сплошная кривая - то же, что модельная кривая 2 на рис. I

Рассмотрим случай "чисто диффузной" ловушки, когда изотропное распределение нейтронов в пространстве скоростей практически не нарушается за счет их вытекания из ловушки. В этом случае изменение числа нейтронов в ловушке происходит по закону

$$N(t) = N(0)\exp(-\lambda t), \quad (1)$$

где без учета гравитации  $\lambda = \lambda_0$  и определяется газокинетическим соотношением  $\lambda_0 = vs/4V$ . Здесь  $s$  - площадь отверстия,  $V$  - объем ловушки. Получим теперь  $\lambda_g$  с учетом гравитации в случае, когда отверстие находится на дне сосуда. Определяя  $\lambda_g$  как  $\lambda_g = |dN(t)/dt|/N(t)$  и используя выражение для фазовой плотности нейтронов в виде  $/4$

$$n(z, v, t) = c(t)(2\pi v_0 V)^{-1} \delta(v_0^2 - v^2 - 2gz), \quad (2)$$

где  $v_0$  - скорость УХН на уровне  $z = 0$ , получим

$$\lambda_g = \lambda_0 \frac{2gH}{v_0^2 [1 - (1 - 2gH/v_0^2)^{1/2}]} \quad (3)$$

Нетрудно показать, что физически такой вид  $\lambda_g$  определяется увеличением плотности нейтронов вблизи отверстия (при  $z = 0$ ) по сравнению со средней плотностью нейтронов в ловушке. Расчет  $N'(t) = dN(t)/dt$ , где  $N(t)$  соответствует формуле (1) при  $\lambda = \lambda_g$ , представлен кривой I на рис. I.

Рассмотрим другой предельный случай, когда ловушка "чисто зеркальная", т.е. угол  $\Theta$  в данной точке падения на поверхность ловушки является интегралом движения для каждого нейтрана. Возьмем функцию распределения нейтронов в виде /5/

$$f = c \delta(v_z^2 - v_{oz}^2 + 2gz) \delta(v_x^2 - v_{ox}^2) \delta(v_y^2 - v_{oy}^2), \quad (4)$$

которая описывает фазовые траектории нейтронов с фиксированными значениями  $|v_{ox}|, |v_{oy}|, |v_{oz}|$ . Естественно различать траектории нейтронов по углу  $\Theta_0$  их падения на дно ловушки. Определим  $\lambda_{g1}(\mu) = |dN_\mu/dt|/N_\mu$ , где  $\mu = \cos\Theta_0$ . Тогда для таких нейтронов получим в случае  $v_{oz}^2 < 2gH$

$$\lambda_{g1} = \frac{1}{2} \frac{sv_{oz}}{V} \frac{v_{oz}^2}{gH}, \quad (5)$$

и при  $v_{oz}^2 > 2gH$

$$\lambda_{g2} = \frac{1}{2} \frac{s}{V} \frac{v_{oz}}{(v_{oz}^2/gH)[1 - (1 - 2gH/v_{oz}^2)^{1/2}]}. \quad (6)$$

Величина  $N_\mu = dN/d\mu$  соответствует числу нейтронов на единицу телесного угла с данным  $\mu$  на уровне дна ловушки. Полное число нейтронов в такой "чисто зеркальной" ловушке как функция времени  $t$  при вытекании через отверстие в дне может быть записано в виде

$$N(t) = \int_0^{\tilde{\mu}} N_\mu \exp(-\lambda_{g1}(\mu)t) d\mu + \int_{\tilde{\mu}}^1 N_\mu \exp(-\lambda_{g2}(\mu)t) d\mu, \quad (7)$$

где  $\tilde{\mu} = (2gH/v_0^2)^{1/2}$  и интегрирование соответствует первоначально изотропному распределению нейтронов. Отсюда следует

$$N(t) = N(0) F_g(t), \quad (8)$$

где

$$\begin{aligned} F_g(t) &= 0,75 [1 - (1 - \tilde{\mu}^2)^{3/2}]^{-1} \times \\ &\times \left\{ \exp(-\gamma \tilde{\mu} t) (\tilde{\mu}^2/\gamma t + \tilde{\mu}^3 - \frac{1}{2} \gamma \tilde{\mu}^4 t + \frac{1}{2} \gamma^2 t^2 \tilde{\mu}^5) + \right. \\ &+ \exp \left( -\frac{\gamma \tilde{\mu}^2 t}{1 - \sqrt{1 - \tilde{\mu}^2}} \right) \left( \frac{-\tilde{\mu}^2}{\gamma t} + \frac{(1 - \sqrt{1 - \tilde{\mu}^2})^3}{3} - \frac{\gamma \tilde{\mu}^2 t (1 - \sqrt{1 - \tilde{\mu}^2})^2}{6} + \right. \\ &\left. \left. + \frac{\gamma^2 \tilde{\mu}^4 t (1 - \sqrt{1 - \tilde{\mu}^2})}{6} \right) - \frac{1}{6} (\gamma \tilde{\mu}^2 t)^3 \left( E_1 \left( \frac{\gamma \tilde{\mu}^2 t}{1 - \sqrt{1 - \tilde{\mu}^2}} \right) + 3E_1(\gamma \tilde{\mu} t) \right) \right\}. \end{aligned} \quad (9)$$

Здесь  $\gamma = sv_0/4V$ . Кривая 2 на рис. I и сплошная кривая на рис. 2 изображают спектр утечки  $N'(t)$  из зеркальной ловушки, т.е. первую производную функции (8). Отметим, что эта кривая идет существенно ближе к соответствующей аппроксимации по газокинетической теории, чем в случае  $g = 0/2$ . Это связано с тем, что нейтроны, падающие под большим углом  $\Theta$  на дно ловушки и имеющие малую компоненту  $v_{oz}$ , чаще соударяются с плоскостью дна, чем в случае  $g = 0$ . Траектории этих нейтронов, определяющие при  $g = 0$  "хвост" спектра утечки, в наибольшей степени подвержены влиянию гравитации. Кривой 3 на рис. I представлена первая производная функции

$$N(t) = N(0) \frac{1 - \exp(-2\lambda_g t)}{2\lambda_g}, \quad (10)$$

которая описывает изменение со временем числа нейтронов в зеркальной ловушке при  $g = 0/2$ , если  $\lambda_g$  заменить на  $\lambda_0$ . Как видно из рис. I, "экспериментальная" гистограмма весьма прибли-

женно описывается всеми рассмотренными моделями. Ход кривой 3 наиболее соответствует гистограмме. Кривая 1 явно не отвечает расчету Монте-Карло. Кривая 2 идет более круто, чем гистограмма. Это связано с тем, что в данной аппроксимации неявно предполагается однородность плотности нейтронов в горизонтальной плоскости. Однако данные численного эксперимента свидетельствуют о том, что плотность нейтронов растет с увеличением радиуса, достигая максимума у боковой поверхности ловушки. Как показывает анализ, хорошо "выживают" в ловушке те нейтроны, которые отражаются от боковой поверхности и дна ловушки под большими углами  $\theta$ . Так как диффузное рассеяние следует зависимости  $\sim \cos^2\theta / 2$ , такие нейтроны имеют малую вероятность диффузного рассеяния и, сохранив угол  $\theta$ , движутся по винтовым траекториям вблизи боковой поверхности ловушки. Поэтому вероятность попадания в центральное отверстие для них мала. Этим, вероятно, объясняется более пологий ход гистограммы по сравнению с кривой 2. Более кругой ход гистограммы 2 в сравнении с гистограммой 1 на рис. 2 свидетельствует о том, что в случае рассмотренного кольцевого отверстия нейтроны из ловушки вытекают быстрее, менее выражен "хвост" распределения утечки. Это в значительной степени определяется более быстрой утечкой нейронов с винтовыми траекториями. Такой процесс изъятия наиболее устойчивых по отношению к диффузному рассеянию нейтронов можно рассматривать как эффективное уменьшение степени зеркальности ловушки. Как и при  $g = 0$  крутизна "экспериментальных" спектров утечки в области малых значений  $t$  превышает наклон экспоненты, полученной по газокинетической теории /2/. В отличие от случая  $g = 0$  модели 1 и 2, представленные на рис. I, не позволяют провести интерполяцию для определения степени зеркальности ловушки /2/. Однако анализ численного эксперимента может быть проведен без помощи моделей. В табл. I приведены результаты расчетов нескольких параметров, характеризующих спектры утечки УХН для двух рассмотренных типов отверстий. Здесь  $\bar{t}_T = 1/\lambda_0$  в случае  $g = 0$  и  $\bar{t}_T = 1/\lambda_g$  при  $g = 9,8 \text{ м/с}^2$ ,  $\bar{t}_g$  - среднее экспериментальное время вытекания нейтронов из ловушки, а величина  $\xi = \sqrt{D}/\bar{t}_g$ , где  $D$  - дисперсия "экспериментального" спектра утечки, характеризует отклонение этого спектра от экспоненциального закона (для экспоненты  $\xi = 1$ ). Из таблицы следует,

Таблица I.

Параметры численного эксперимента и модельных кривых.

Тип отверстия	$\bar{t}_e$	$\bar{t}_T$	$\bar{t}_e/\bar{t}_T$	$\xi$
$g = 9,8 \text{ м/с}^2$				
Центральное отверстие $R = 15 \text{ см}$	$0,68 \pm 0,01$	0,5876	$1,16 \pm 0,01$	$1,25 \pm 0,07$
Кольцевое отверстие $13,2 < R <$ $< 20 \text{ см}$	$0,586 \pm 0,009$	0,5876	$0,997 \pm 0,015$	$1,02 \pm 0,06$
$g = 0$				
	$0,963 \pm 0,015$	0,666	$1,446 \pm 0,023$	$1,17 \pm 0,07$
	$0,807 \pm 0,013$	0,666	$1,212 \pm 0,095$	$1,11 \pm 0,07$

что в случае центрального отверстия явно выполняется неравенство  $\xi > 1$ , как при  $g = 9,8 \text{ м/с}^2$ , так и при  $g = 0$ . Это отражает отличие "экспериментальных" спектров от экспоненциального распределения, свидетельствуя о наличии медленно убывающего "хвоста" в области больших значений  $t$ . То, что значения  $\xi$ , в пределах ошибок при этом совпадают, означает, что экспоненциальный закон в равной степени не применим в обоих случаях ( $g = 9,8 \text{ м/с}^2$  и  $g = 0$ ). Это можно объяснить, учитывая, что степень зеркальности ловушки определяется в основном значениями  $s_0$  и  $s/s_0$ , где  $s_0$  – полная поверхность ловушки /2/. В случае кольцевого отверстия величины  $\xi$ , при  $g = 0$  и  $g = 9,8 \text{ м/с}^2$  меньше аналогичных для центрального отверстия, а отношения  $\bar{t}_e/\bar{t}_T$  ближе к единице, т.е. "экспериментальные" спектры ближе к экспоненциальному распределениям с соответствующими значениями  $\lambda_0$  и  $\lambda_g$ . Это является следствием отмеченного уменьшения степени зеркальности ловушки

за счет более быстрого выбывания нейтронов с винтовыми траекториями.

Рассмотренные эффекты существенны, когда вытекание газа УН из ловушки происходит быстро и диффузное рассеяние нейтронов на стенках не успевает восстанавливать их первоначальное изотропное распределение. Однако влияние гравитации необходимо учитывать и в том случае, когда вытекание нейтронов происходит медленно, т.е.  $v/v_0 \ll 10^{-2}$ . Можно показать, что в этом случае для реального эксперимента средняя скорость УН  $\bar{v}_0$  у дна ловушки определяется из соотношения

$$\ln N^*(t) = \text{const} - \frac{gt}{4V} v_0^*, \quad (II)$$

справедливого при малых временах вытекания. При этом

$$v_0^* = \bar{v}_0 \left[ 1 + \frac{gH}{2} (\bar{v}_0^{-1}) (\bar{v}_0)^{-1} \right], \quad (I2)$$

откуда следует, что  $\bar{v}_0 = v_0^*$  только в случае  $gH = 0$  (черточка в (I2) обозначает усреднение по спектру скоростей у дна ловушки). Учитывая, что  $(\bar{v}_0^{-1}) \approx (\bar{v}_0)^{-1}$ , получаем

$$\bar{v}_0 = v_0^*/2 + (v^*^2/4 - gH/2)^{1/2}. \quad (I3)$$

Для ловушки с  $H = 0,4 \text{ м}$   $\bar{v}_0$  отличается от  $v_0^*$  на  $\sim 10\%$ .

Поступила в редакцию  
22 июля 1982 г.

#### Л и т е р а т у р а

1. А. В. Антонов и др., Препринт ФИАН № 260, М., 1981 г.
2. А. В. Антонов и др., Препринт ФИАН № 133, М., 1982 г., Краткие сообщения по физике ФИАН № 8, 41, 1982 г.
3. А. В. Антонов и др., Краткие сообщения по физике ФИАН № 10, 3 (1978).
4. В. К. Игнатович, Г. И. Терехов, ОИИИ, Р4-9467, Дубна, 1976 г.
5. А. В. Антонов и др., Препринт ФИАН № 178, М., 1978 г., Краткие сообщения по физике ФИАН № 10, 27 (1978).